



**UNIVERSITAS DIPONEGORO**

**ANALISIS SIKUEN STRATIGRAFI DAN PEMODELAN  
FASIES FORMASI TANJUNG BERDASARKAN DATA LOG  
SUMUR DAN DATA INTI BATUAN PADA LAPANGAN MIR  
CEKUNGAN BARITO, KALIMANTAN SELATAN**

**NASKAH PUBLIKASI  
TUGAS AKHIR**

**M Ilham Ridwan**

**L2L009061**

**FAKULTAS TEKNIK  
PROGRAM STUDI TEKNIK GEOLOGI**

**SEMARANG  
SEPTEMBER 2014**

**ANALISIS SIKUEN STRATIGRAFI DAN PEMODELAN FASIES  
FORMASI TANJUNG BERDASARKAN DATA LOG SUMUR DAN DATA  
INTI BATUAN PADA LAPANGAN MIR CEKUNGAN BARITO,  
KALIMANTAN SELATAN**

*Oleh:*

*M Ilham Ridwan\*, Hadi Nugroho\*, Yoga Aribowo\*, Mill Sartika Indah\*\*, Dan  
Perdana Rakhmana Putra\*\**

*(Corresponding email: [mohammad.ilham.ridwan@gmail.com](mailto:mohammad.ilham.ridwan@gmail.com))*

*\*Program Studi Teknik Geologi Universitas Diponegoro, Semarang*

*\*\*Development Geologist PT Pertamina UTC, Jakarta Pusat*

**ABSTRACT**

*Increased consumption of energy resources of oil and gas, exploration and exploitation process results performed optimally. Interpretation of subsurface using well log data combined with geological disciplines becomes very important in increasing exploration. Location of the study lies in one of the field located in the Barito basin of South Kalimantan province owned by Pertamina UTC. This research was done in the implementation of the final project addressed the subject of mapping subsurface using sequence stratigraphic approaches.*

*The purpose of this research is to determine the type of lithology, facies and depositional environment, sequence stratigraphy, distribution of sedimentation and facies modelling Tanjung Formation in the MIR field. This research is using descriptive method and analytical methods. Descriptive method is a method that does some literature review. While the analysis method is using qualitative analysis to determine the type of lithology, stratigraphy and facies modeling sequence. This analysis uses software petrel 2009 in an analysis of well logs in the distribution of lithology, stratigraphic marker horizon correlation, subsurface mapping and facies modelling.*

*Based on the results of the data analysis and discussion, it can be interpreted that the Tanjung Formation in the MIR field has a type silisiklastik sandstone lithology (sandstone), shale (shale) and coal (coal) with depositional environment in estuarine area. The results of the analysis of stratigraphic marker is 2 MRS (Maximum Surface Regression), 5 FS (Flooding Surface), 2 MFS (Maximum Flooding Surface) and 1 SB (Sequence Boundary) with sequence stratigraphic unit 2 Lowstand System Track (LST), 2 Transgressive System Track (TST) and Highstand System Track 1 (HST). Direction of sedimentation cycles in Tanjung Formation sequence stratigraphy approach leads to Northwest – South east (NNW - SSE). Facies models are divided into two zones: the ZR1 zone and ZR2 zone, where the zone was conducted to calibrate the rock core data. Based on core analysis Estuary facies rocks have Chanel and Tidal flat on Keywell. According to core data support and electrofacies in the study site, there are 3 facies deposition environmental: Chanel Estuary , Tidal flat and Tidal Bars.*

*Keywords : Sequence Stratigraphy, System Track , Distribution of Sedimentation, Facies Modeling.*

## I. PENDAHULUAN

Meningkatnya konsumsi sumber daya energi minyak dan gas bumi, mengakibatkan proses eksplorasi dan eksloitasi dilakukan semaksimal mungkin. Baik untuk pencarian lapangan baru maupun pengembangan lapangan yang sudah di produksikan. Oleh karena itu upaya dalam meningkatkan daya produksi minyak dan gas bumi adalah dengan cara meningkatkan eksplorasi dengan melibatkan dua disiplin ilmu, yaitu geologi dan geofisika.

Interpretasi bawah permukaan dengan menggunakan data log sumur di kombinasikan dengan disiplin ilmu geologi menjadi sangat penting dalam peningkatan eksplorasi. Dalam hal ini pengetahuan yang dibutuhkan adalah bagian dari pengetahuan geologi yang mengenai analisis kondisi bawah permukaan melalui korelasi sumur dan analisis perkembangan distribusi sedimentasi pada cekungan sehingga akan didapatkan gambaran mengenai distribusi pengendapan.

Penelitian ini di lakukan dalam pelaksanaan tugas akhir ini adalah pemetaan bawah permukaan (*subsurface mapping*) pada Formasi Tanjung dengan menggunakan pendekatan sikuen stratigrafi. Lapangan pengembangan yang di digunakan untuk penelitian adalah lapangan MIR.

Lokasi penelitian terletak pada salah satu lapangan pada cekungan Barito yang terletak di propinsi Kalimantan Selatan milik PERTAMINA UTC. Cekungan Barito merupakan salah satu dari sekian banyak cekungan di Indonesia yang memiliki prospek hidrokarbon yang cukup baik.

Pada tugas akhir ini akan dibahas siklus sedimentasi, lingkungan pengendapan melalui konsep sikuen stratigrafi dan penyebaran geometri fasies berdasarkan data inti batuan (*core*) yang dibuat pemodelan fasies penyebarannya.

## II. GEOLOGI REGIONAL

Secara umum stratigrafi Cekungan Barito dari muda ke tua Hall (2011) pada

Gambar 2.1 secara berurut adalah sebagai berikut :

1. Formasi Dahan, terdiri dari litologi batupasir kuarsa berbutir sedang terpilah buruk, konglomerat lepas dengan komponen kuarsa berdiameter 1-3 cm, batulempung lunak, setempat dijumpai lignit dan limonit, terendapkan sekitar lingkungan fluviatil dengan tebal sekitar 250 meter, dan berumur Plio-Plistosen.
2. Formasi Warukin, terdiri dari litologi batupasir kuarsa dan batulempung sisipan batubara, terendapkan di lingkungan fluviatil dengan ketebalan sekitar 400 meter, berumur Miosen Tengah sampai dengan Miosen Akhir.
3. Formasi Berai, litologinya terdiri dari litologi batugamping terdapat komposisi fosil foraminifera besar seperti *Spiroclypeus orbitodeus*, *Spiroclypeus sp.* yang menunjukkan umur Oligosen-Miosen Awal dan bersisipan napal, terendapkan dalam lingkungan neritik, dan mempunyai ketebalan sekitar 1000 meter.
4. Formasi Tanjung terdiri dari beberapa fasies diantaranya :
  - a. Fasies Konglomerat terdiri dari Konglomerat bawah, dengan komponen sebagian besar terdiri komponen seperti batuan malihan, batuan beku, batuan klastika, batugamping dan kuarsa. Komponen Fasies Konglomerat berukuran dari 1 cm sampai 8 cm, berbentuk bulat sampai membulat tanggung, terpilah buruk, dan komponen Fasies Konglomerat bermassa dasar batupasir kuarsa berbutir kasar. Fasies Konglomerat ini merupakan bagian paling bawah dari Formasi Tanjung yang diendapkan tidak selaras diatas batuan atas Pra-Tersier, tebalnya berkisar antara 8 meter dan 15 meter. Di tepi barat Pegunungan Meratus, Fasies Konglomerat lebih tebal dari yang di tepi timurnya. Di beberapa

- tempat di tepi timur ditemukan sisipan batupasir berbutir kasar dengan ketebalan antara 75 cm dan 100 cm, yang memperlihatkan struktur sedimen lapisan silang-siur berskala menengah. Adanya perbedaan ketebalan pada Fasies Konglomerat dan struktur perlapisan silang-siur pada batupasir menunjukkan arah arus purba dari arah barat.
- b. Fasies Batupasir Bawah terdiri dari batupasir berbutir sedang sampai kasar setempat konglomeratan. Batupasir ini terdiri dari butiran kuarsa dengan sedikit kepingan batuan vulkanik, rijang, dan feldspar. Fasies ini berlapis tebal yaitu antara 50 cm dan 200 cm. Struktur sedimennya adalah lapisan sejajar, lapisan silang-siur dan lapisan tersusun. Tebal fasies ini terukur di tepi barat Pegunungan Meratus antara 46 meter dan 48 meter, sedangkan di bagian tengah dan tepi timurnya antara 30 meter dan 35 meter.
- c. Fasies Batulempung Bawah terdiri dari batulempung berwarna kelabu, dengan sisipan batubara dan batupasir. Ketebalan fasies ini berkisar dari 28 meter sampai 68 meter. Struktur sedimen di dalam batulempung, yang terlihat berupa lapisan pejal, laminasi sejajar, setempat laminasi silang-siur dengan ketebalan berkisar antara 3 cm sampai 5 cm. Batubara berwarna hitam mengkilap terdapat sebagai sisipan dengan ketebalan berkisar antara 30 cm dan 200 cm. Setempat lapisan batubara berasosiasi dengan batulempung berwarna kehitaman. Sisipan batupasir berbutir halus sampai sedang dengan ketebalan perlapisan antara 5 cm dan 25 cm. Struktur sedimennya adalah laminasi sejajar dan setempat laminasi silang-siur. Setempat ditemukan pula sisipan tufa berwarna putih dengan ketebalan perlapisan antara 5 cm dan 15 cm, sebagian terubah menjadi kaolin.
- d. Fasies Batupasir Atas terdiri dari batupasir berbutir halus sampai sedang, berlapis baik, dengan ketebalan perlapisan antara 3 cm dan 25 cm. Tebal fasies ini berkisar dari 12 meter sampai 26 meter. Struktur sedimennya lapisan sejajar serta lapisan silang-siur pada batupasir berbutir halus dan yang terakhir adalah Fasies Batulempung Atas terdiri dari batulempung berwarna kelabu kehijauan dan masif.

AGE	FORMATION	STAGE	SEISMIC MARKERS	PRODUCTIVE HORIZON	LITHOLOGY	GENERAL LITHOLOGY DESCRIPTION	DEPOSITIONAL ENVIRONMENT	TECTONIC ENVIRONMENT
QUATERNARY	N21	ALLUVIAL				Cobbles, pebbles, sand, silt and clay		
	N22							
	N23							
	N24							
	N25							
	N26							
	T2N							
	N27							
MIOCENE	N19							
MIOCENE	N18							
MIOCENE	N17							
MIOCENE	N16							
MIOCENE	N15							
MIOCENE	N14							
MIOCENE	N13							
MIOCENE	N12							
MIOCENE	N11							
MIOCENE	N10							
MIOCENE	N9							
MIOCENE	N8							
MIOCENE	N7							
MIOCENE	N6							
MIOCENE	N5							
MIOCENE	N4							
MIOCENE	N3							
MIOCENE	N2							
MIOCENE	N1							
EARLY	To 1 - 3							
EARLY	To 4 - 6							
EARLY	To 7 - 9							
EARLY	To 10 - 12							
EARLY	To 13 - 15							
EARLY	To 16 - 18							
EARLY	To 19 - 21							
EARLY	To 22 - 24							
EARLY	To 25 - 27							
EARLY	To 28 - 30							
EARLY	To 31 - 33							
EARLY	To 34 - 36							
EARLY	To 37 - 39							
EARLY	To 40 - 42							
EARLY	To 43 - 45							
EARLY	To 46 - 48							
EARLY	To 49 - 51							
EARLY	To 52 - 54							
EARLY	To 55 - 57							
EARLY	To 58 - 60							
EARLY	To 61 - 63							
EARLY	To 64 - 66							
EARLY	To 67 - 69							
EARLY	To 70 - 72							
EARLY	To 73 - 75							
EARLY	To 76 - 78							
EARLY	To 79 - 81							
EARLY	To 82 - 84							
EARLY	To 85 - 87							
EARLY	To 88 - 90							
EARLY	To 91 - 93							
EARLY	To 94 - 96							
EARLY	To 97 - 99							
EARLY	To 100 - 102							
EARLY	To 103 - 105							
EARLY	To 106 - 108							
EARLY	To 109 - 111							
EARLY	To 112 - 114							
EARLY	To 115 - 117							
EARLY	To 118 - 120							
EARLY	To 121 - 123							
EARLY	To 124 - 126							
EARLY	To 127 - 129							
EARLY	To 130 - 132							
EARLY	To 133 - 135							
EARLY	To 136 - 138							
EARLY	To 139 - 141							
EARLY	To 142 - 144							
EARLY	To 145 - 147							
EARLY	To 148 - 150							
EARLY	To 151 - 153							
EARLY	To 154 - 156							
EARLY	To 157 - 159							
EARLY	To 160 - 162							
EARLY	To 163 - 165							
EARLY	To 166 - 168							
EARLY	To 169 - 171							
EARLY	To 172 - 174							
EARLY	To 175 - 177							
EARLY	To 178 - 180							
EARLY	To 181 - 183							
EARLY	To 184 - 186							
EARLY	To 187 - 189							
EARLY	To 190 - 192							
EARLY	To 193 - 195							
EARLY	To 196 - 198							
EARLY	To 199 - 201							
EARLY	To 202 - 204							
EARLY	To 205 - 207							
EARLY	To 208 - 210							
EARLY	To 211 - 213							
EARLY	To 214 - 216							
EARLY	To 217 - 219							
EARLY	To 220 - 222							
EARLY	To 223 - 225							
EARLY	To 226 - 228							
EARLY	To 229 - 231							
EARLY	To 232 - 234							
EARLY	To 235 - 237							
EARLY	To 238 - 240							
EARLY	To 241 - 243							
EARLY	To 244 - 246							
EARLY	To 247 - 249							
EARLY	To 250 - 252							
EARLY	To 253 - 255							
EARLY	To 256 - 258							
EARLY	To 259 - 261							
EARLY	To 262 - 264							
EARLY	To 265 - 267							
EARLY	To 268 - 270							
EARLY	To 271 - 273							
EARLY	To 274 - 276							
EARLY	To 277 - 279							
EARLY	To 280 - 282							
EARLY	To 283 - 285							
EARLY	To 286 - 288							
EARLY	To 289 - 291							
EARLY	To 292 - 294							
EARLY	To 295 - 297							
EARLY	To 298 - 300							
EARLY	To 301 - 303							
EARLY	To 304 - 306							
EARLY	To 307 - 309							
EARLY	To 310 - 312							
EARLY	To 313 - 315							
EARLY	To 316 - 318							
EARLY	To 319 - 321							
EARLY	To 322 - 324							
EARLY	To 325 - 327							
EARLY	To 328 - 330							
EARLY	To 331 - 333							
EARLY	To 334 - 336							
EARLY	To 337 - 339							
EARLY	To 340 - 342							
EARLY	To 343 - 345							
EARLY	To 346 - 348							
EARLY	To 349 - 351							
EARLY	To 352 - 354							
EARLY	To 355 - 357							
EARLY	To 358 - 360							
EARLY	To 361 - 363							
EARLY	To 364 - 366							
EARLY	To 367 - 369							
EARLY	To 370 - 372							
EARLY	To 373 - 375							
EARLY	To 376 - 378							
EARLY	To 379 - 381							
EARLY	To 382 - 384							
EARLY	To 385 - 387							
EARLY	To 388 - 390							
EARLY	To 391 - 393							
EARLY	To 394 - 396							
EARLY	To 397 - 399							
EARLY	To 400 - 402							
EARLY	To 403 - 405							
EARLY	To 406 - 408							
EARLY	To 409 - 411							
EARLY	To 412 - 414							
EARLY	To 415 - 417							
EARLY	To 418 - 420							
EARLY	To 421 - 423							
EARLY	To 424 - 426							
EARLY	To 427 - 429							
EARLY	To 430 - 432							
EARLY	To 433 - 435							
EARLY	To 436 - 438							
EARLY	To 439 - 441							
EARLY	To 442 - 444							
EARLY	To 445 - 447							
EARLY	To 448 - 450							
EARLY	To 451 - 453							
EARLY	To 454 - 456							
EARLY	To 457 - 459							
EARLY	To 460 - 462							
EARLY	To 463 - 465							
EARLY	To 466 - 468							
EARLY	To 469 - 471							
EARLY	To 472 - 474							
EARLY	To 475 - 477							
EARLY	To 478 - 480							
EARLY	To 481 - 483							
EARLY	To 484 - 486							
EARLY	To 487 - 489							
EARLY	To 490 - 492							
EARLY	To 493 - 495							
EARLY	To 496 - 498							
EARLY	To 499 - 501							
EARLY	To 502 - 504	</td						

deskriptif tidak hanya memberikan gambaran terhadap fenomena, tetapi juga menerangkan hubungan, menguji hipotesis, membuat prediksi serta mendapatkan makna dan implikasi dari suatu masalah yang ingin dipecahkan.

Metode analisis adalah suatu metode yang digunakan untuk menganalisis data yang digunakan dalam penelitian. Jenis metode analisis yang digunakan dalam penelitian ini adalah sebagai berikut :

- **Metode Analisis Well Log**

Dalam metode analisis *well log*, data yang digunakan berasal dari 16 sumur (*well*), yang masing-masing terdiri dari log *gamma ray* (*GR*), *resistivitas* (*LLD*), *densitas* (*FCD*), *neutron* (*CNL*). pada data *well log* menggunakan *software Petrel* 2009. Data log sumur ini di pergunakan dalam interpretasi persebaran litologi dan jenis litologi dalam Formasi Tanjung. Korelasi marker stratigrafi menggunakan konsep stratigrafi sikuen menurut Catuneanu (2006) yang terdiri dari *Maximum Regression Surface* (*MRS*), *sequence boundary* (*SB*), *Flooding surface* (*FS*), dan *maximum flooding surface* (*MFS*) di hubungkan dengan log sumur lainnya dalam pembuatan marker stratigrafi.

- **Metode Analisis Inti Batuan (*Data Core*)**

Dalam metode analisis inti batuan, Analisis deskripsi megaskopis pada inti batuan di kedalaman 1114 – 1120 MD/meter (*Measure Depth*) pada *key well* 107 serta inti batuan di kedalaman 963 – 967 MD/m pada *key well* 105.

- **Metode Pemodelan**

Pemodelan 3D merupakan langkah akhir pada penelitian ini. Dilakukan dengan membuat pemodelan fasies untuk mengetahui lingkungan pengendapan. Pembuatan *Boundary* merupakan sebuah batas yang berguna untuk membatasi *area of interest* dari suatu lapangan dengan tujuan bahwa

pemodelan yang nanti akan dihasilkan hanya pada sebatas zona tersebut dengan luas sekitar 8.28 Km<sup>2</sup> dengan persebaran 16 sumur *well log*.

## IV. ANALISIS PEMBAHASAN

- **Interpretasi Data Wireline Log**

Analisis *wireline log* merupakan metode awal dalam menentukan variasi litologi yang menyusun formasi penelitian secara kualitatif. Interpretasi penentuan litologi dai suatu *wireline log* dapat di tentukan dari log *gamma ray* (*GR*), log *Spontaneous Potential* (*SP*), log *neutron* (*CNL*), dan log *densitas* (*FDC*). Interpretasi awal untuk menentukan litologi adalah membedakan antara serpih (*shale*) dan litologi batupasir (*sandstone*) dengan menggunakan log *GR* dan *SP*. Berdasarkan analisis secara integrasi pada keseluruhan data *wireline log* yang ada, maka litologi lapangan MIR pada Formasi Tanjung ini dapat dibagi menjadi 3 jenis litologi yaitu sepih (*shale*), batupasir (*sandstone*), dan batubara (*coal*). Batupasir (*sandstone*) dapat dianalisis dari nilai gamma ray yang memiliki nilai lebih rendah dari nilai gamma ray pada garis dasar serpih (*shale base line*), memiliki nilai densitas berkisar 2.3-2.6 gr/cc pada log *densitas*, serta nilai log *neutron* yang tidak lebih dari 0.3 dikarenakan nilai *neutron* akan besar pada batuan yang memiliki komposisi lempung.

- **Analisis Data Inti Batuan**

Analisis data inti batuan (*core*) dilakukan untuk mengetahui karakter fisik litologi secara nyata dan spesifik. Melalui analisis inti batuan ini dapat diketahui jenis litologi, ukuran butir, struktur sedimen, komposisi mineral serta porositas dan permeabilitas batuan yang dianalisis. analisis data inti batuan (*core*) pada *well MIR* 107 pada kedalaman 1114.25 – 1114.45 Meter MD. Sifat fisik pada inti batuan ini tersusun dari litologi batupasir warna kuning kecoklatan dengan ukuran butir sedang hingga halus, dengan pola *finning upward*. Sortasi baik

menunjukkan bahwa lingkungan pengendapan memiliki energi pemisahan yang tinggi dan mampu membedakan lumpur dengan butiran yang lebih kasar dalam transportasi dan deposisinya. Struktur sedimen yang berkembang *ripple cross laminated* yang menunjukkan struktur sedimen primer dengan karakteristik lamina yang bergelombang. Struktur sedimen ini terbentuk pada arus traksi yang merupakan hasil akumulasi *sand dune* atau gumpalan pasir yang saling sejajar, dan pada umumnya *ripple cross lamination* terbentuk pada rezim aliran bawah. Berdasarkan sifat fisik batuan inti diatas dapat diinterpretasikan bahwa assosiasi fasies pada inti batuan ini merupakan *fasies estuary channel* yang memiliki *low energy channel top deposit*.

Pada well MIR 105 pada kedalaman 963 – 963.20 Meter MD. Sifat fisik pada inti batuan ini tersusun dari *claystone*, dan *sandstone*. warna kuning kecoklatan, dengan ukuran butir sedang – halus. sortasi baik menunjukkan bahwa lingkungan pengendapan memiliki energi pemisahan yang tinggi dan mampu membedakan lumpur dengan butiran yang lebih kasar dalam transportasi dan deposisinya. Keterdapat *bioturbated* yang cukup tinggi mengidentifikasi bahwa lingkungan pengendapan dengan aktifitas organisme yang cukup tinggi. Berdasarkan data deskripsi di atas maka pada inti batuan dapat diinterpretasikan assosiasi *fasies mud flat* yang merupakan susunan *fasies tidal flat*.

- **Analisis Sikuen Stratigrafi**

Untuk menentukan analisis sikuen stratigrafi pada Lapangan MIR hal pertama yang harus dilakukan ialah korelasi marker stratigrafi. Korelasi marker stratigrafi dilakukan untuk menentukan *flooding surface* (FS), *maximum flooding surface* (MFS), *maximum regresi surface* (MRS) dan *sequence boundary* (SB). Proses dimulai pada *well log* MIR 107 yang merupakan *keywell* pada penelitian dikarenakan memiliki data yang cukup lengkap. Untuk menentukan titik acuan (*datum*) MRS, dimana pada

regresi maksimum sebagai datum untuk korelasi pada sumur lainnya. Dengan ini bisa menganalisis sikuen stratigrafi untuk memperoleh informasi mengenai proses dan faktor pembentukannya meliputi perubahan muka air laut (*eustacy*), kecepatan penurunan (*subsidence*), suplai sedimen dan geometri cekungan. Setelah melakukan korelasi marker stratigrafi maka dapat melakukan analisis unit sikuen stratigrafi berdasarkan pola naik turunnya muka air laut. Adapun unit-unit sikuen stratigrafi Formasi Tanjung Pada Lapangan MIR adalah sebagai berikut :

- **Unit Sikuen Stratigrafi *Lowsatand System Track* (LST)**

*Lowstand system track* merupakan suatu set endapan sedimen yang terendapkan pada saat muka air laut relatif turun sampai pada saat muka air laut itu relatif naik. Menurut Wagoner (1988), pada *lowstand system track* biasanya pada bagian dasarnya akan dibatasi oleh *sequence boundary*, dan bagian atas akan dibatasi *transgressive surface* (FS) bisa juga *Maximum regression surface* (MRS).

Pada peristiwa *lowstand system track* (LST) sangat sensitif merekam perubahan-perubahan garis pantai pada endapan-endapan transisi-laut dangkal. Pola sedimentasi pada peristiwa LST menunjukkan pola *coarsening upward* atau mengasar keatas, dimana muka air laut relatif turun pada *downlap break* dengan penaikan muka air laut yang relatif terjadi dikemudian. Turunnya muka air laut secara perlahan sehingga membuat ruang akomodasi pengendapan pada suatu cekungan semakin berkurang namun suplai sedimen sangat tinggi sehingga membentuk endapan *progradational* pada proses pengendapan Formasi Tanjung.

Berdasarkan analisis sikuen stratigrafi pada Formasi Tanjung, terdapat 2 unit sikuen stratigrafi *lowstand system track* (LST), yakni LST-1 dan LST-2, dimana LST-1 pada bagian atasnya dibatasi oleh MRS-1 (*maximum regressive surface-1*).

- **Unit Sikuen Stratigrafi *Transgressive System Track* (TST)**

*Transgressive system track* merupakan suatu set endapan sedimen yang terendapkan pada muka air laut relatif naik. Pada *transgresive system track* ini dibatasi oleh *transgresive surface* (TS) dan *maximum flooding surface* (MFS). Pada tipe ini jumlah pasokan sedimen lebih rendah dibandingkan kecepatan akomodasi. Pada sistem ini sebagian besar berupa *onlap* dan berbentuk *clinoform*, dan memiliki geometri *retrogradational*. Semakin kearah Cekungan kadang akan ditemukan *condensed section* pada *system track* TST, hal ini menunjukkan suatu proses laju pengendapan yang lambat. Proses laju pengendapan lambat di karenakan majunya garis pantai yang diikuti genangan air laut sehingga proses tersebut merekam geometri pengendapan *retrogradational*.

Pada peristiwa unit sikuen stratigrafi *transgressive system track* (TST) sangat sensitif merekam perubahan - perubahan garis pantai pada endapan – endapan transisi-laut dangkal. Pola sedimentasi pada peristiwa TST menunjukkan pola *fanning upward* atau menghalus keatas, karena terendapkan pada bagian dari fasa penaikan muka air laut relatif turun pada *onlap break* dengan penaikan muka air laut yang relatif naik, pada saat terjadinya fasa TST ruang akomodasi pengendapan semakin tinggi atau *onlap* sehingga laju suplai sedimen menjadi berkurang.

Berdasarkan analisis sikuen stratigrafi pada Formasi Tanjung, terdapat 2 unit sikuen stratigrafi *transgressive system track* (TST), yakni TST-1 dan TST-2, dimana TST-1 pada bagian bawah dibatasi oleh MRS (*maximum regressive surface*) dan pada bagian atas dibatasi oleh *maximum flooding surface* (MFS).

- **Unit Sikuen Stratigrafi *Highstand System Track* (HST)**

*Highstand system track* merupakan suatu set endapan sedimen yang terendapkan pada muka air laut mencapai titik tertinggi sampai mulai turun kembali. Pada sistem ini

sebagian berupa berupa *downlap* pada *system track* dibawahnya, yang memiliki geometri *aggradational*. Pada sistem ini akan dibatasi pada bagian bawahnya oleh *maximum flooding surface*, dan pada bagian atas dibatasi oleh *sequence boundary*.

Pada peristiwa *highstand system track* (HST) saat garis pantai maju kearah *basin* yang terbentuk pada saat laju penaikan muka air laut yang mulai menurun setelah melalui masa puncak penaikan muka air laut, dimana pada saat peristiwa tersebut membentuk ruang akomodasi yang lebih kecil di banding pengendapan sedimen pada *basin* dengan memiliki geometri pengendapan *aggradational*.

Berdasarkan analisis sikuen stratigrafi pada Formasi Tanjung, terdapat 1 unit sikuen stratigrafi *highstand system track* (HST), dimana HST pada bagian bawah dibatasi oleh MfS (*maximum flooding surface*) dan pada bagian atas dibatasi oleh *sequence boundary* (SB).

- **Peta Isopach Unit Sikuen Stratigrafi**

Peta isopach adalah peta yang menggambarkan distribusi ketebalan tiap horizon batupasir yang dibatasi oleh waktu pengendapan melalui korelasi marker unit stratigrafi. Dari peta *isopach* yang telah dibuat diharapkan dapat menunjukkan persebaran tubuh batupasir dan arah dinamika sedimentasi.

Peta isopach dengan batupasir bagian bawah atau batupasir yang lebih terdahulu diendapkan yang tergolong horizon batupasir LST-1 (*lowstand system track-1*). menunjukkan ketebalan yang menggambarkan bahwa penyebaran endapan sedimen mengarah ke tenggara dengan ketebalan 20.62 Meter dan 74.51 Meter ketebalan peta *isopach* LST-2 (*lowstand system track-2*).

Peta *isopach* selanjutnya pada horizon *transgresive system track-1* (TST-1) pada tipe ini jumlah pasokan sedimen lebih rendah dibandingkan kecepatan akomodasi. Pada sistem ini sebagian besar berupa *topset*, dan berbentuk *clinoform*, dan memiliki geometri *retrogradational*. bahwa penyebaran

enadapan sedimen mengarah ke tenggara dengan ketebalan 99.88 Meter dan 56.51 Meter Meter ketebalan peta *isopach* TST-2 (*transgresive system track-2*).

Peta *isopach* selanjutnya pada horizon HST (*highstand system track*) yang menyebar di setiap *well log* dengan kecenderungan *aggradational*. Hal ini mencirikan proses sedimentasi yang tinggi namun ruang akomodasi yang kecil yang membuat batupasir menjadi tebal. Bawa penyebaran enadapan sedimen mengarah ke tenggara dengan ketebalan 89.62 Meter.

- **Analisis Fasies dan Lingkungan Pengendapan**

Analisis fasies dan lingkungan pengendapan dilakukan dengan mengacu pada konsep elektrofasies, yakni penggunaan set kurva *log* yang menunjukkan karakteristik suatu lapisan yang dapat dibedakan dengan lapisan yang lainnya. Karakteristik *log* ini di ambil dari *log gamma ray* (GR) di karenakan *log gamma ray* relatif lebih sensitif dan akurat dalam mengukur kadar mineral lempung dalam batuan.

Sebelum menentukan fasies masing – masing pola *log* harus diketahui lingkungan pengendapan pada Lapangan MIR harus mengacu pada geologi regional yang menunjukkan bahwa Formasi Tanjung Bawah terdapkan pada *estuarine* pada fase transgresi. Hal ini juga diperkuat dengan keterdapatannya lapisan batubara pada interpretasi litologi.

Pada zona ZR1 yang terjadi pada fasa unit sikuen stratigrafi TST (*transgresive system track*) yang menunjukkan bahwa pada proses pengendapan TST diiringi dengan kenaikan muka air laut sehingga akan terbentuk fasies yang semakin keatas pada zona TST menunjukkan *retrogradasional parasequence*. Setelah diketahui proses analisis pada zona TST adalah lingkungan *estuarine*, maka pola *log gamma ray* yang berbentuk *cylindrical* mengidentifikasi fasies *estuary channel* yang dikalibarasikan dengan hasil deskripsi inti batuan pada

*keywell* MIR 107. Dimana pada penjelasan deskripsi intibatuan menunjukkan adanya struktur sedimen *ripple cross bedding* dan *rip – up clast*. Sedangkan pola *funnel shape* dengan ukuran butir mengkasar keatas (*coarsening upward*) mengidentifikasi fasies *tidalbar*, sedangkan pola *bell shape* dengan menghalus keatas (*finning upward*) mengidentifikasi fasies *tidal flat*.

Sedangkan pada zona ZR2 diidentifikasi pada fasa unit sikuen stratigrafi TST-2 (*transgresive system track-2*) dan LST-2 (*lowstand system track*). Setelah diketahui proses analisis pada zona ZR-2 adalah *estuarine*, maka pola *log bell shape* dengan menghalus keatas (*finning upward*) mengidentifikasi fasies *tidal flat*. Yang dikalibarasikan dengan hasil deskripsi inti batuan pada *keywell* MIR 105. Dimana pada penjelasan deskripsi intibatuan menunjukkan adanya struktur sedimen *flaser* dan banyaknya *bioturbated* yang berkembang pada inti batuan. Sedangkan pola *funnel shape* dengan ukuran butir mengkasar keatas (*coarsening upward*) mengidentifikasi fasies *tidalbar*, dan pola *log gamma ray* yang berbentuk *cylindrical* mengidentifikasi fasies *estuary channel*. Sehingga secara umum lingkungan pengendapan pada Lapangan MIR Formasi Tanjung memiliki lingkungan adalah *Estuary Chanel – Estuary Mouth complex* yang didominasi oleh proses *tide dominated estuarine*.

- **Pemodelan 3D Fasies**

Pemodelan 3D merupakan penggambaran secara metematis dari reservoir dibawah permukaan pada perangkat komputer. Menurut Ekeland (2007), menyebutkan bahwa pemodelan fasies merupakan sebuah metode untuk menggambarkan fasies secara 3 dimensi, bertujuan untuk mengetahui geometri dari sebuah pelamparan dan distribusi fasies. Tujuan dari pemodelan geologi penelitian ini adalah untuk menciptakan model distribusi fasies pada Formasi Tanjung pada Lapangan MIR . Sehingga nantinya model fasies yang

dihasilkan mampu memberikan informasi parameter geologi tentang analisis fasies yang diteliti.

- **Pembagian Lapisan Target (*Layering*)**

Proses selanjutnya adalah pembuatan *layering* yang merupakan proses akhir sebelum menuju *property modeling*. Pembagian lapisan target atau *layering* merupakan proses pembuatan subzona memungkinkan untuk menggambarkan resolusi vertikal akhir dari grid dengan pengaturan ketebalan *cell* atau banyaknya lapisan *cell* yang diinginkan.

Pembagian lapisan target untuk menentukan distribusi fasies penulis menggunakan dengan resolusi data log sumur dan aturan paling tipis bahwa 1 meter di anggap 2 layer. Maka proses pembuatan layer berdasarkan ketebalan masing – masing zone pada *keywell*.

**Tabel 4.1** Prosedur pembagian layer berdasarkan ketebalan surface

Well log	Surface	Thickness	No. of layer
MIR 107	Top ZR-2	133.17	226
MIR 107	Bottom ZR-2		
MIR 107	Top ZR-1	125.56	251
MIR 107	Bottom ZR-1		

- **Scale Up Well Log**

Proses *Scale up* data sumur merupakan sebuah proses otomatis yang disediakan oleh Petrel untuk mendigitasi ulang data pada log sumur kedalaman *grid cell* 3D. Pada masing-masing *grid cell*, semua nilai log yang berada pada interval *cell* tertentu akan dirata-rata berdasarkan proses alogaritma untuk menghasilkan hanya satu nilai pada satu *cell*. Sehingga dalam hal ini semakin kecil nilai *cell* yang digunakan maka akan semakin akurat data kita, namun untuk penelitian kali ini sesuai pambahasan sebelumnya. Data sumur yang digunakan hanya merupakan hasil penentuan

elektrofasies yang nantinya akan di buat pemodelan 3D distribusi fasies pada Formasi Tajung.

Dalam prosesnya pengolahan selanjutnya menjadi pemodelan 3D guna mendistribusikan *property*, maka digunakan variogram. Variogram merupakan perangkat statistik untuk interpolasi antara dua atau lebih data yang bersifat pembobotan. Dalam variogram ada beberapa hal yang perlu diperhatikan, seperti metode yang akan digunakan, arah *major* dan *minor*, *nugget*, *range*, metode, dan orientasi serta bentuk variogram yang menunjukkan arah *property* distribusi fasies.

- **Pemodelan Fasies (*Facies Modelling*)**

Pemodelan fasies untuk pembuatan 3D modeling sangat diperlukan untuk mempermudah dalam proses simulasi. Dalam hal ini fasies sangat berkaitan dengan performa produksi. Pemodelan fasies merupakan penggambaran atau ilustrasi dari fasies yang berada pada lapangan penelitian sehingga nantinya akan digunakan sebagai pembuatan parameter petrofisika seperti penyebaran dan hubungan porositas serta permeabilitasnya.

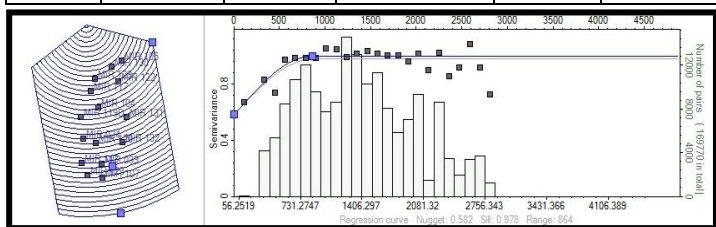
Sesuai yang sudah dibahas pada bab analisis fasies lingkungan pengendapan maka pemodelan daerah penelitian ini dibagi menjadi 3 fasies yaitu, *estuary channel*, *tidalbar*, *tidalflat*. Metode yang digunakan pada distribusi fasies berupa *Sequential Gaussian Simulation* (SGS). Metode ini merupakan sebuah metode pemodelan dengan menggunakan pembobotan berdasarkan interpretasi elektrofasies pada *well log* untuk memperkirakan distribusi fasies. Hal ini sangat tergantung pada simulasi sikuensial ini menggunakan pembobotan berdasarkan geostatistik dimana nilai yang dihasilkan akan sangat bergantung dari hasil *upscaled well log* data dan penentuan variogram.

Simulasi *Sequential Gaussian Simulation* (SGS) ini menggunakan pembobotan berdasarkan geostatistik dimana nilai yang dihasilkan akan sangat bergantung dari hasil

*upscaled well log* data dan penentuan variogram. Sehingga sebelum memasuki fasies modeling ini perlu dilakukan analisis data untuk menentukan pola penyebaran data dengan menggunakan variogram pada tabel 4.2.

Tabel 4.2 Nilai variogram litofasies berdasarkan berdasarkan distribusi penyebarannya

Zone	Fasies	Major	Orientasi	Sill	Nugget
ZR 1	Estuary Chanel	549.9	NW - SE	0.967 4	0.045
	Tidal Flat	522	NW - SE	1.014 9	0
	Tidal Bar	541.5	N - S	1.033 4	0



Gambar 4.22 Contoh analisis major variogram pada parameter litofasies ZR-1

Pada metode variogram menggunakan model tipe *spherical* dimana penggunaan model tipe tersebut akan menghasilkan variasi yang diskontinyu serta variasi properti pada analisis fasies akan cenderung *smooth* dan eksponensial. Berdasarkan nilai minor dan mayor yang merupakan peningkatan kesebandingan antara data dengan jarak untuk menunjukkan seberapa pengaruh antara sample terhadap kesamaan data. Berdasarkan nilai *sill* merupakan nilai saemivarian pada bagian variogram teratas (*level off*), dapat diartikan juga sebagai *amplitude* suatu komponen.

## V. KESIMPULAN

Berdasarkan hasil penelitian sikuen stratigrafi dan pemodelan fasies pada Lapangan MIR ini maka dapat disimpulkan beberapa hal berikut :

1. Litologi pada Lapangan MIR tersusun oleh batupasir, serpih dan batubara yang terendapkan pada lingkungan *estuarine*.
2. Lapangan MIR pada cekungan Barito Kalimantan selatan diidentifikasi bahwa Formasi Tanjung memiliki 7 paket unit sikuen stratigrafi yaitu, 2 *Maximum Regresi Surface* (MRS), 5 *Flooding Surface* (FS), 2 *Maximum Flooding Surface* (MFS), 1 *Sequence Boundary* (SB), 2 *Lowstand System Track* (LST), 2 *Transgresive System Track* (TST), 1 *Highstand System Track* (HST).
3. Arah siklus sedimentasi pada Formasi Tanjung dengan pendekatan unit sikuen stratigrafi dalam peta *isopach system track* menunjukkan bahwa proses sedimentasi mengarah ke Barat laut – Tenggara (NNW – SSE).
4. Berdasarkan analisis inti batuan dan pola *log Gamma ray* (*Electrofacies*) lokasi penelitian memiliki 3 fasies lingkungan pengendapan yaitu, *Estuary channel* dengan pola *log Gamma ray cylindrical*, *tidalflat* dengan pola *log Gamma ray funnel shaped*, *tidalbar* dengan pola *log Gamma ray bell shaped*. Dengan lingkungan pengendapan *Estuary Channel – Estuary Mouth complex*.

## VI. UCAPAN TERIMA KASIH

Terima kasih saya sampaikan kepada PT Pertamina UTC yang telah memberikan ijin penelitian tugas akhir saya, kepada para karyawan PT Pertamina UTC terutama Ibu Mill Sartika Indah dan Bapak Perdana Rakhmana Putera selaku pembimbing saya, Bapak Hadi Nugroho dan Bapak Yoga Aribowo selaku pembimbing saya di kampus yang telah memberikan masukan dan arahan dalam penulisan hasil penelitian ini, dan kepada seluruh

pihak yang telah mendukung saya selama melaksanakan penelitian hingga selesai.

## DAFTAR PUSTAKA

- Adams, J.T. and Mair, B.F., 1984. *Facies and Environments*. Schlumberger.
- Allen, G. P., and J. L. C. Chambers, 1998, *Sedimentation in the modern and Miocene Mahakam Delta*: Jakarta, Indonesian Petroleum Association, 236 p.
- Allen, G.P., 1997, *Sedimentology and Stratigraphy of Siliciclastic Reservoirs in Alluvial and Coastal-Deltaic Environments*. Queensland University of Technology, Brisbane.
- Boggs, Jr. S., 1987. *Principles of Sedimentology and Stratigraphy*, Merryl Publishing Co., A Bell & Howell Company, Columbus, Ohio.
- Bon, Jan, Tom H. Fraser, Welly Amris, Stewart, D.N., Zulkifli Abubakar, Sostromihardjo, S., 1996, *A Review of the Exploration Potential of the Paleocene Lower Tanjung Formation in the South Barito Basin*, IPA 96-1.0-027, 62-70, 1972.
- Brown, Jr., Fisher W.L., 1979, *Seismic Stratigraphy Interpretation and petroleum exploration*. Texas. USA
- Catuneanu, O., 2002. *Sequence Stratigraphy of Clastic Systems: Concepts, Merits, and Pitfalls*. Journal of African Earth Sciences, Vol. 35/1, pp. 1-43.
- Catuneanu, O., 2003. *Sequence Stratigraphy of Clastic Systems*. Geological Association of Canada, Short Course Notes, Vol. 16, p. 248.
- Catuneanu, O., 2006. *Principles of Sequence Stratigraphy*. Elsevier. University of Alberta. Canada.
- Dewan, J., 1983. *Modern Open-Hole Log Interpretation*. PennWell Publishing Company : Tulsa, Oklahoma.
- Ekenland, Anneli., 2007. *Sedimentology and Geomodelling of Small Scale Fluvial Architecture from the Lourinha Gm. Central Portugal*. Thesis. Norwegia: University of Bergen, 2007. (Tidak diterbitkan)
- Fisher, W.L., & McGowen, J.H., 1967. *Depositional System In The Wilcox Group of Texas And Their Relationship To Occurrence of Oil And Gas*. Gulf Coast Association Geological Society, Transactions 17, pp. 105-125.
- Friedman, Gerald M. & Sander, Jhon E., 1999. *Principles of Sedimentology*, Jhon Willey & sons publishing.
- Frey, R.W. and Pemberton, S.G., 1985. Trace Fossil Facies Models. Dalam : *Sediment Environtment and Facies*. 1986, h. 189-207.
- Folk, R.L., 1962. *Dalam Buku Pengantar Praktikum Petrologi 2010*. Undip : Semarang
- Galloway, W.E., 1975, *Process framework for describing the morphologic and stratigraphic evolution of deltaic depositional system*, in M L Broussard (ed.), *Deltas: Model for exploration*, Houston Geological Society, Houston, 87-98.
- Hall, R., 2011. *Stratigraphy and Sediment Provenance, Barito Basin, Southeast Kalimantan*. Proceedings Indonesian Petroleum Association (IPA), 35<sup>th</sup> Annual Convention, Jakarta, IPA11.G-054.
- Harsono, A., 1997. *Evaluasi Formasi dan Aplikasi Log*. Schlumberger Oil Field, Edisi ke 8, Jakarta.
- Koesoemadinata, R.P., Taib, M.I.T., dan Samuel, L., 1994. *Subsidence curves dan modeling of some Indonesia Tertiary Basins: 1994 AAPG International Conference dan Exhibition Kuala Lumpur, Malaysia*, p. 1-42.
- Kusuma, I. dan Darin, T., 1989, *The hydrocarbon potential of the Lower Tanjung Formation, Barito Basin, SE Proc. Indon. Petroleum Assoc. Ann. Conv. v.1*, p.107-138, West Indonesia.
- Mitchum, R.M., Jr., 1977. *Seismic Stratigraphy And Global Changes of Sea Level, part 11: Glossary of Terms Used*

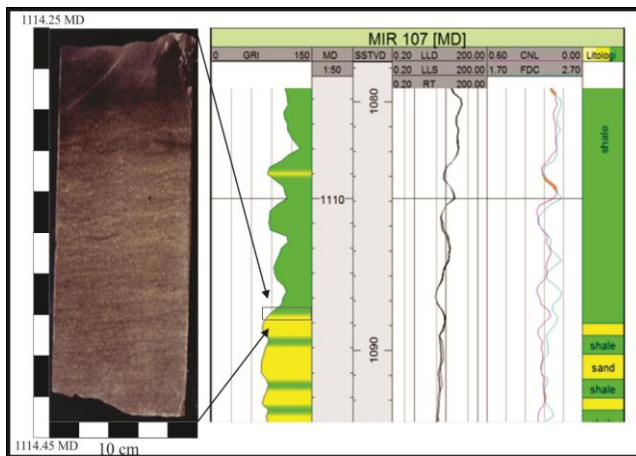
- In Seismic Stratigraphy. In Seismic Stratigraphy-Applications To Hydrocarbon Exploration* (C.E. Payton, Ed), pp. 205-212. American Association of Petroleum Geologist Memoir 26.
- Mutti & Luchi., 1972. *Turbidite Systems in Hydrocarbon Exploration*. Universidade Fernando Pessoa. Porto. Portugal.
- Nichols, Gary., 1999. *Sedimentology and Stratigraphy*, 2nd ed. Wiley-Blackwell. United Kingdom.
- Posamentier, H.W., Jersey, M.T., & Vail, P.R., 1988. *Eustatic Controls On Clastic Deposition I-Conceptual Framework, In Sea Level Changes-An integrated Approach* (C.K. Wilgus, B.S. Hastings, C.G.St.C. Kendall, H.W. Posamentier, C.A. Ross, & J.C. Van Wagoner, Eds) pp. 110-124. SEPM Special Publication 42
- Posamentier, H.W., & Allen, G.P., 1993. *Variability of The Sequences Stratigraphic Model: Effects of Local Basin Factors*. Sedimentary Geology, Vol. 86, p. 91-109
- Posamentier, H.W., & Allen, G.P., 1999. *Siliciclastic Sequence Stratigraphy: Concepts And Applications*. SEPM Concepts in Sedimentology And Paleontology No. 7, p. 210.
- Potney, P.E., 1967. *Sandstone Bodies and Sedimentary Environments Review*. Bull. Am. Assoc. Petrol. Geologist, v., h. 220-282.
- Ridder, M., 1986. *The Geological Interpretation of Well Log*, 2 nd edition. Whittleless publishing: Scotland
- Satyana, A.H. and Silitonga, P.D., 1994, *Tectonic Reversal in East Barito Basin, South Kalimantan : Consideration of the Types of Inversion Structures and Petroleum System Significance*, Proceedings Indonesian Petroleum Association (IPA), 23<sup>rd</sup> Annual Convention, Jakarta, p.57-74.
- Satyana, A.H., 1994, *The Northern Massives of the Meratus Mountains, South Kalimantan : Nature, Evolution and Tectonic Implications to the Barito Structures*, Proceedings Indonesian Association of Geologists (IAGI), 23<sup>rd</sup> Annual Convention, Jakarta, p. 457-470.
- Satyana, A.H.and Darman, H., 2000, *Kalimantan Chapter in Darman, H. and Sidi, F.H., eds, Outline of the Geology of Indonesia*, Indonesian Association of Geologists, p. 69-90.
- Selley, Richard C., 1985. *Applied Sedimentology*. Royal School Mines : London, United Kingdom.
- Siregar, M.S. and Sunaryo, R., 1980. *Depositional Environment and Hydrocarbon Prospects, Tanjung Formation, Barito Basin, Kalimantan*. Proceedings Indonesian Petroleum Association (IPA), 9<sup>th</sup> Annual Convention, Jakarta.
- Selley, R.C., 1978. *Ancient Sedimentary Environments*. Chapman & Hall Lmt, London, 233, h.
- Suryana, 2010. Metodologi Penelitian. Universitas Pendidikan Indonesia: Jakarta
- Tucker, M., 1986. *The Field Description of Sedimentary Rocks*. Open University Press & Halsted Press., New York, Toronto, 112 h.
- Vail, P.R., Mitchum, R.M.Jr., & Thompson, S., 1977. *Seismic Stratigraphy And Global Changes of Sea Level, Part Four: Global Cycles of Relative Changes of Sea Level*. Americans Association of Petroleum Geologist Memoir 26, pp. 83-98.
- Vail, P.R., & Wornardt, W.W., 1990. *Well log-Seismic Stratigraphy; An Integrated Tool For the 90's: Gulf Coast Section*. SEPM Foundation Eleventh Annual Research Conference Program And Extended Abstracts, pp. 379-388.
- Van Wagoner, J.C., Posamentier, H.W., Mitchum, R.M.Jr., Vail, P.R, Sarg, J.F., Loutit, T.S., & Hardenbol, J., 1988. *An Overview of Sequence Stratigraphy And key Definition, In Sea level Changes-An Integrated Approach* (C.K. Wilgus, B.S. Hastings, C.G.St.C. Kendall, H.W.

- Posamentier, C.A. Ross, & J.C. Van Wagoner, Eds) pp. 110-124. SEPM Special Publication 42.
- Van Wagoner, J.C., R.M. Mitchum., K.M Campion, & Rahamanian, V.D., 1990. *Siliciclastic Sequence Stratigraphy In Well Log And Outcrops*. American Association of Petroleum Geologist Method In Exploration Series. USA.
- Walker, R.G and James., 1992. *Facies Models*. Reprint Series 1, Geoscience Canada. Dept. of Geology McMuster University, Canada.
- Walther, J. 1894. *Einleitung In Die Geologische Historische Wissenschaft, Bd 3, Lithogenesis Der Gegenwart*. Fischederlag. Jena; 535-1055.

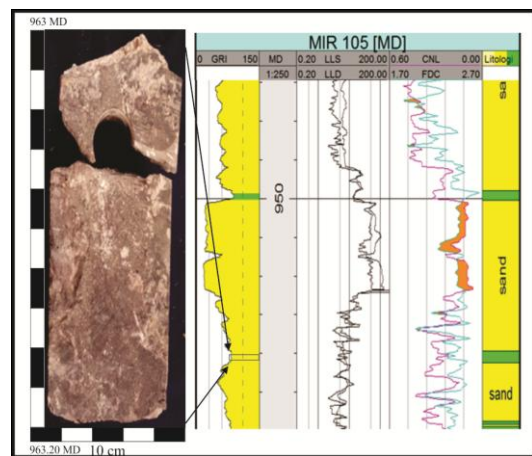
**Laporan :**

- PERTAMINA UTC., 2002. *Laporan Akhir Geologi dalam studi implementasi EOR (Enhanced Oil Recovery) pada Lapangan MIR, Cekungan Barito Kalimantan Selatan*. Tidak Dipublikasikan.
- PERTAMINA UTC., 2010. *Laporan Akhir Geologi dan Geophysics overview Sand characterization pada Lapangan MIR, Cekungan Barito Kalimantan Selatan*. Tidak Dipublikasikan.

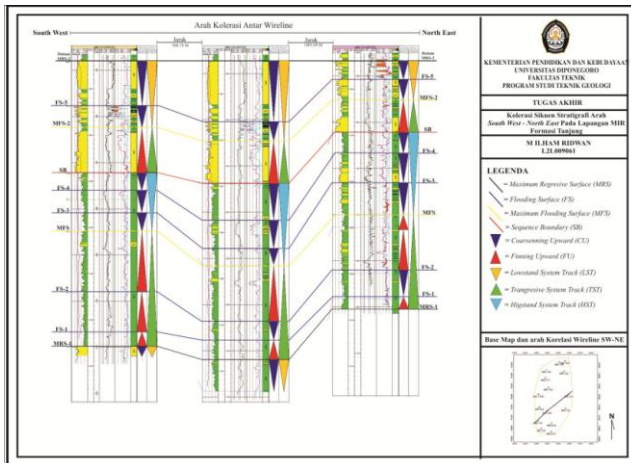
## LAMPIRAN



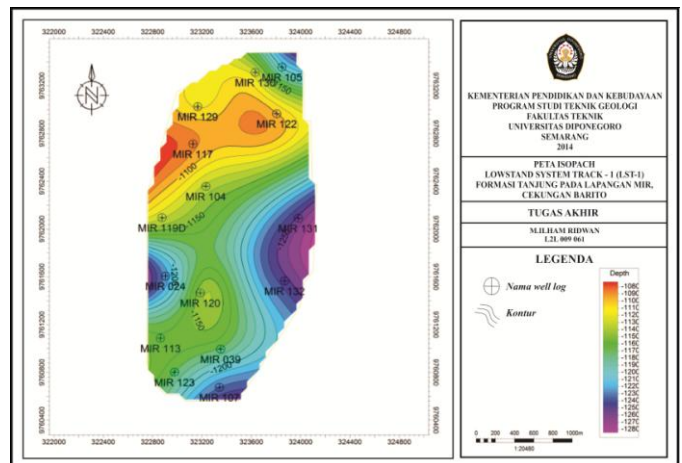
Gambar 1. Kalibrasi Data Inti Batuan pada kedalaman 1114.25 – 1114.45 Meter MD dengan wireline MIR 107



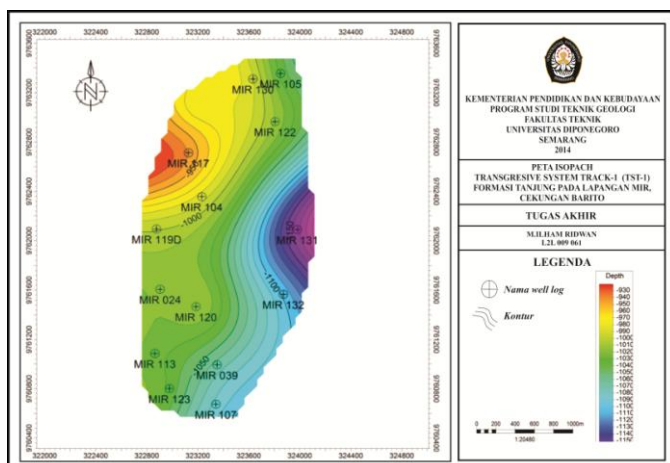
Gambar 2. Kalibrasi Data Inti Batuan pada kedalaman 963 – 963.20 Meter MD dengan wireline MIR 105



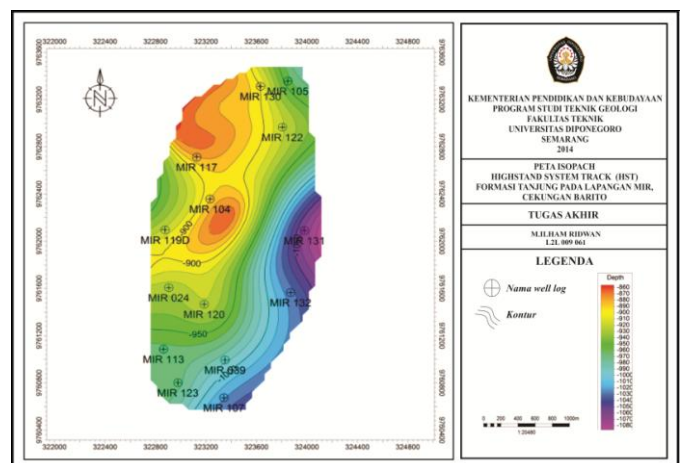
Gambar 3. Korelasi marker sikuen stratigrafi arah South West – North East pada Lapangan MIR Formasi Tanjung



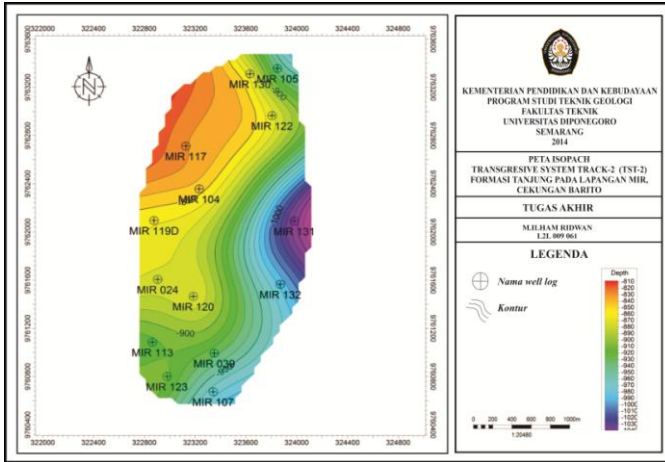
Gambar 4. Peta Isopach unit sikuen stratigrafi Lowstand system track-1 (LST-1)



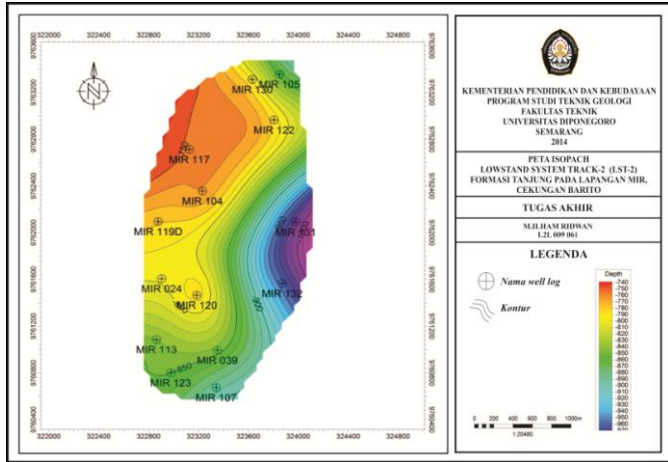
Gambar 5. Peta Isopach unit sikuen stratigrafi Transgressive system track-1 (TST-1)



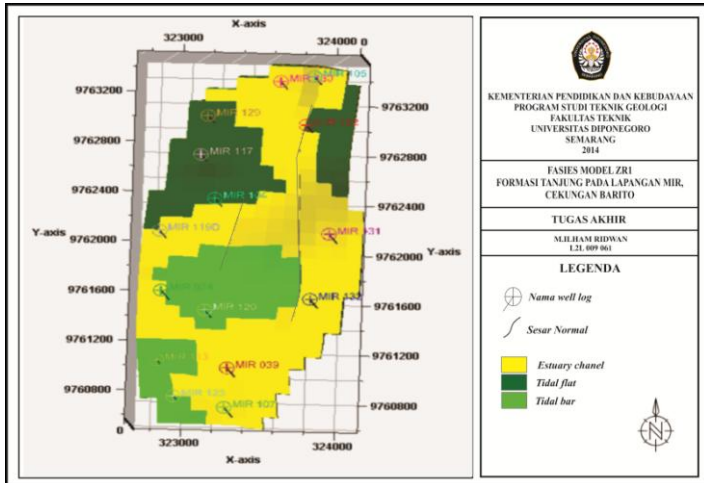
Gambar 6. Peta Isopach unit sikuen stratigrafi Highstand system track (HST)



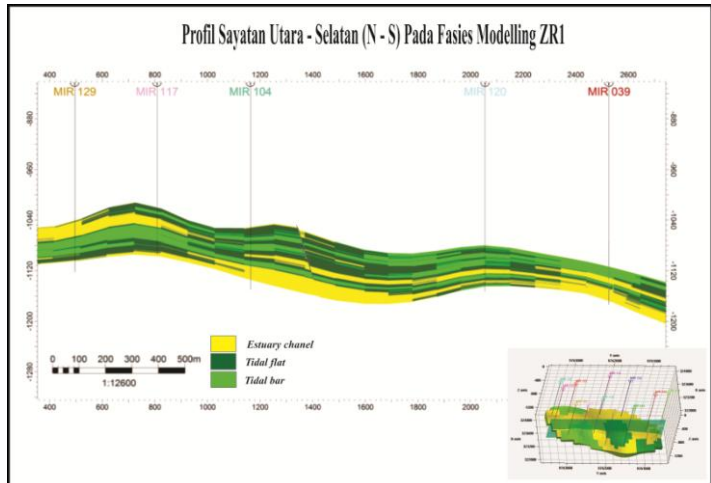
Gambar 7. Peta Isopach unit sikuen stratigrafi Transgressive system track-2 (TST-2)



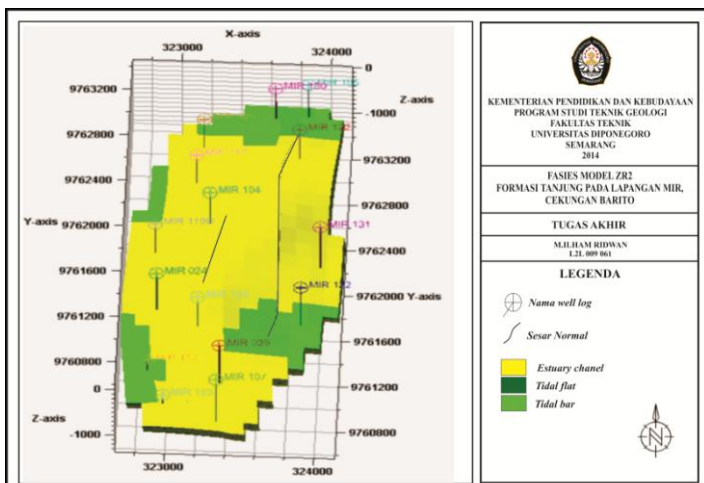
Gambar 8. Peta Isopach unit sikuen stratigrafi Lowstand system track-2 (LST-2)



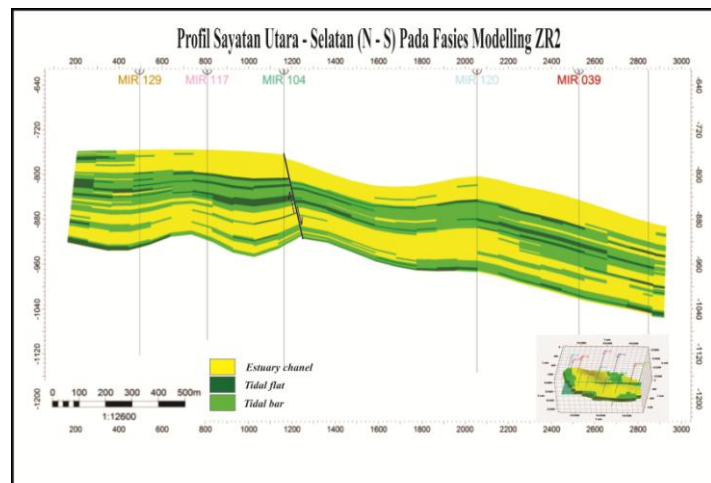
Gambar 9. Hasil output fasies model ZR1 dengan metode Sequential Gaussian Simulation (SGS)



Gambar 10. Sayatan profil geologi hasil pemodelan fasies lingkungan pengendapan ZR-1 pada Lapangan MIR



Gambar 11. Hasil output fasies model ZR2 dengan metode Sequential Gaussian Simulation (SGS)



Gambar 12. Sayatan profil geologi hasil pemodelan fasies lingkungan pengendapan ZR-2 pada Lapangan MIR